

مقاله علمی - پژوهشی

بررسی آزمایشگاهی استهلاک انرژی جریان عبوری از سرریزهای پلکانی همراه با الحاق المانهایی روی پله

امیر قادری^{۱*} و سعید عباسی^۲

تاریخ دریافت: ۱۳۹۹/۱۲/۲۷ تاریخ پذیرش: ۱۳۹۹/۱۱/۲۲

چکیده

پله‌ها در سرریز پلکانی با ایجاد یک بستر زیر مصنوعی، انرژی جریان را بیش از انواع دیگر سرریزها مستهلاک می‌کنند. با افزایش زبری، انرژی جریان عبوری از روی سرریز به صورت یکنواخت و پیوسته پراکنده می‌شود. هدف از تحقیق حاضر، بررسی افودن المانهایی بر روی پله‌ها و تأثیر آن بر تغییرات الگوی جریان، نقطه شروع هواده‌ی، میزان استهلاک انرژی و ضریب زبری دارسی می‌باشد. آزمایشات بر روی مدل فیزیکی سرریز پلکانی و با الحاق المانهایی بر روی پله در آرایش‌های مختلف و به صورت پیوسته و همراه با شکاف انجام گردید و نتایج با سرریز پلکانی ساده مورد مقایسه قرار گرفت. نتایج نشان داد که ایجاد مانع بر روی پله‌ها باعث ایجاد برخی تلاطم و نوسانات بر روی سطح جریان در مرکز و کنارهای پله می‌شود. این امر باعث اختلاط بیشتر آب و هوا و انتقال محل نقطه شروع هواده‌ی به بالادست سرریز پلکانی می‌شود. رژیم جریان انتقالی و غیر ریزشی بر روی مدل‌های سرریز پلکانی همراه با مانع در دبی‌های پایین‌تری نسبت به سرریز پلکانی ساده اتفاق می‌افتد. تغییر رژیم جریان بر روی سرریز پلکانی همراه با مانع شکافدار دیرتر از حالت پیوسته روی می‌دهد. همچنین موانع روی پله تأثیری بر روی میزان استهلاک انرژی جریان و ضریب زبری ندارند ولی با ایجاد شکاف بر روی موانع عملکرد آن‌ها بهتر شده و میزان استهلاک انرژی و ضریب زبری دارسی به طور متوسط به ترتیب $7/33$ و $8/4$ درصد نسبت به سرریز پلکانی ساده افزایش می‌یابد.

واژه‌های کلیدی:

استهلاک انرژی، المانهای روی پله، سرریز پلکانی، ضریب زبری، نقطه شروع هواده‌ی

مقدمه

بهبود و افزایش استهلاک انرژی جریان از طریق ایجاد زبری بر روی شوت ایفا می‌کنند. در دهه‌های اخیر محققان در صدد افزایش کارایی این سرریزها برآمده و تحقیقات زیادی را در این زمینه انجام داده‌اند که از جمله‌ی آن‌ها، تلاش برای کاهش سرعت جریان در انتقال به پایین دست سد از طریق افزایش بازده استهلاک انرژی در سرریزهای پلکانی می‌باشد (قادری و عباسی، ۱۳۹۸). تحقیقات مختلفی توسط Rice and Kadavy (1990)، Rajaratnam (1990)، Sorensen (1985) و Peyras et al., (1992) و (1996) انجام و تأثیر الگوی جریان، هندسه‌ی پله و شبیب سرریز بر روی میزان استهلاک انرژی بررسی شده است.

چانسون به همراه گونزالس و چانسون بررسی‌های آزمایشگاهی زیادی پیرامون تشخیص جریان و استهلاک انرژی روی سرریزهای پلکانی برای سدهای خاکی انجام داده است. آن‌ها روابطی را برای تشخیص رژیم جریان بر روی سرریزهای پلکانی با در نظر گرفتن

سرریزهای پلکانی یکی از راهکارهای مؤثر در استهلاک انرژی جریان در طول سرریز در اثر انتقال آن به پایین دست می‌باشند. سرریزهای پلکانی با توجه به شکل و هندسه‌ای که دارند، برای هدر رفت انرژی آب، کاهش قدرت فرسایشی آن و نیز کاهش هزینه‌ی سازه‌های مستهلاک کننده‌ی انرژی پایین دست سرریز سدهای بزرگ و در بازسازی سدهای خاکی استفاده می‌شوند (Chanson, 1995; Khatsuria, 2005) . پله‌ها بر روی سرریز پلکانی، نقش مهمی در

۱- دانشجوی دکترای عمران آب و سازه‌های هیدرولیکی، دانشکده فنی مهندسی، دانشگاه زنجان، ایران

۲- استادیار مهندسی عمران، دانشکده فنی مهندسی، دانشگاه زنجان، ایران
(Email: amir_ghaderi@znu.ac.ir)
(نویسنده مسئول: DOR: 20.1001.1.20087942.1400.15.3.2.6)

(2020) با استفاده از روش‌های دینامیک سیال‌های محاسباتی به شبیه‌سازی جریان عبوری از سرریزهای پلکانی پرداخته‌اند. قادری و عباسی (۱۳۹۸) تأثیر ایجاد شکل کنگرهای پله‌ها بر میزان استهلاک FLOW-3D بررسی کردند. ایشان مشاهده کردند که اصلاح شکل هندسی پله‌ها باعث بهبود عملکرد سرریز پلکانی در افزایش میزان استهلاک انرژی جریان شده و سرریزهای پلکانی-کنگرهای انرژی باقی‌مانده کمتری نسبت به سرریزهای پلکانی ساده دارند. سرکمربیان و احديان (۱۳۹۹) با استفاده از مدل عددی انسیس میزان استهلاک انرژی تحت تأثیر پارامترهای هندسی پله‌ها شامل تعداد پله‌ها و شبیب شوت و دبی عبوری جریان از روی سرریز پلکانی را موردنبررسی قرار دادند. نتایج ایشان نشان داد که با افزایش تعداد پله‌ها و شبیب شوت سرریز، میزان استهلاک انرژی افزایش می‌یابد. همچنین به ازای ثابت بودن شبیب شوت، با افزایش دبی، میزان استهلاک انرژی افزایش می‌یابد. اخگر و روشنگر (۱۳۹۹) به مطالعه عددی و آزمایشگاهی تأثیر ایجاد حفره بر روی پله‌های سرریز پلکانی بر میزان استهلاک انرژی جریان پرداختند. نتایج ایشان نشان داد، ایجاد حفره روی پله موجب کاهش سرعت تا حدود ۸۲ درصد و کاهش ارتفاع آب در پایین دست سرریز تا حدود ۳۳ درصد می‌گردد و میزان استهلاک انرژی روی سرریز پلکانی تا حدود ۴ برابر افزایش می‌یابد. قادری و عباسی به مطالعه عددی و آزمایشگاهی تأثیر الحاق المان‌های روی پله‌های سرریز پلکانی بر روی میزان استهلاک انرژی جریان و نقطه شروع هوادهی پرداختند. نتایج آنان نشان داد که وجود المان‌ها بر روی پله‌ها و در آرایش‌های مختلف، باعث افزایش زیری و افزایش تلاطم و نوسانات سطح جریان عبوری از روی پله‌ها شده و درنتیجه میزان استهلاک انرژی به طور متوسط ۷/۲ درصد افزایش می‌یابد. وجود المان‌ها بر روی پله‌ها باعث انتقال محل نقطه شروع هوادهی به بالادست سرریز پلکانی می‌شود (Ghaderi and Abbasi, 2021).

با توجه به نتایج به دست آمده از تحقیقات آزمایشگاهی و عددی محققین بر روی سرریز پلکانی و بر اساس ماهیت کلی سرریزهای پلکانی، یکی از عوامل مهم و مؤثر در بهبود عملکرد هیدرولیکی سرریزهای پلکانی به خصوص در امر استهلاک انرژی جریان، تغییرات در فرم هندسی و ابعاد پله‌های سرریز پلکانی می‌باشد. تغییر در فرم هندسی پله‌ها باعث تغییر در پارامترهای هیدرولیکی جریان و میزان استهلاک انرژی جریان می‌گردد. بنابراین هدف از این تحقیق، بررسی خصوصیات جریان عبوری از روی سرریز پلکانی شامل تغییرات در سطح آب، میزان استهلاک انرژی، ضریب زیری و موقعیت شروع هوادهی در اثر استفاده از المان‌هایی بر روی پله‌ها در ابعاد و آرایش‌های مختلف می‌باشد.

شبیب شوت و عمق بحرانی ارائه دادند. همچنین استفاده از سرریز پلکانی با شبیب شوت کمتر از ۲۶/۶ درصد را برای سدهای خاکی (Chanson, 2001; Gonzalez and Chanson, 2007) پیشنهاد دادند. سلماسی و همکاران (۱۳۸۲) تأثیر تعداد پله‌ها در استهلاک انرژی بر روی سرریز پلکانی را موردبررسی قرار داده و بیان کردند که تأثیر افزایش تعداد پله در افزایش استهلاک انرژی تا حدی مثبت بوده و سپس روند کاهشی دارد. این در حالی است که روشن و همکاران (۱۳۹۲) درصد موردنبررسی قرار دادند و نشان دادند که راندمان استهلاک انرژی در مدل سرریز پلکانی با ۱۲ پلکان بیش از مدل پلکانی ۲۲ می‌باشند (Roshan et al., 2010). تحقیقات متعدد دیگری به صورت آزمایشگاهی توسط محققینی چون Hamedи et al., (2011) Felder et al., (2012), Felder et al., (2014), Nohani et al., (2015), Felder and Chanson (2014) به ترتیب تأثیر شبیب معکوس، تأثیر هندسه‌ی پله‌های سرریز، تأثیر ایجاد لبه در انتهای پله‌های سرریز و اثر زبری در سطح پله‌های سرریز پلکانی را در جهت افزایش میزان استهلاک انرژی و Ghaderi et al., (2020) تأثیر ابعاد پله و پارامترهای تأثیرگذار بر روی آب شستگی پایین دست سرریز پلکانی را بررسی کردند. همچنین حیدری Feller و همکاران (۱۳۸۹)، جم و همکاران (۱۳۹۳)، Mero and Mitchell (2017), Chanson (2014) (2019), al., به ترتیب تأثیر شبیب بر تعداد پله‌های سرریز پلکانی، استهلاک انرژی روی سرریز دندانه‌دار بلوكی، تأثیر اثر مقیاس، تأثیر تغییر هندسه پله‌ها و ویژگی‌های جریان دوفازی آبی و هوا در رژیم جریان ریزشی را مورد ارزیابی قرار دادند. روشنگر و اخگر (۱۳۹۸) تأثیر المان‌های گوهای شکل را بر ضریب زیری و استهلاک انرژی جریان عبوری از سرریز پلکانی را موردنبررسی قرار دادند. نتایج آنان نشان داد که افزودن المان‌های گوهای روی پله ضریب زیری را افزایش داده و موجب افزایش استهلاک انرژی جریان می‌گردد. ترکمن سراجی و همکاران (۱۳۹۹) اثر اندازه مصالح سنگی بر میزان استهلاک انرژی جریان عبوری از سرریزهای پلکانی گاییونی را موردنبررسی قرار دادند. آنان مشاهده کردند که هرچقدر قطر دانه‌بندی ذرات کوچک‌تر باشد، میزان اتلاف انرژی بیشتر است. در سال‌های اخیر علاوه بر تحقیقات آزمایشگاهی، مطالعاتی مبتنی بر شبیه‌سازی عددی با کمک دینامیک سیال محاسباتی^۱ بر روی ویژگی‌های جریان عبوری از سرریزهای پلکانی انجام شده است. محققانی مانند Tabbara, Chen et al., (2002), Tongkratoke et al., (2009) Daneshfaraz et al., Nikseresht et al., (2013) et al., (2005) Ghaderi et al., Morevati et al., (2016) و

می‌گردد (بخش ۲) معیاری برای بررسی میزان استهلاک انرژی جریان می‌باشد. بنابراین مطابق شکل ۲ می‌توان انرژی بالادست و پایین دست سرریز پلکانی را محاسبه کرد.

$$\frac{y_c}{h} \geq 0.8, 0.4 \leq \frac{h}{l} \leq 0.9 \quad (1)$$

با توجه به رابطه‌ی شماره (۱)، نوع رژیم جریان ایجادشده بر روی مدل‌های سرریز پلکانی تحقیق حاضر در جدول (۱) و شکل (۱) نشان داده شده است.

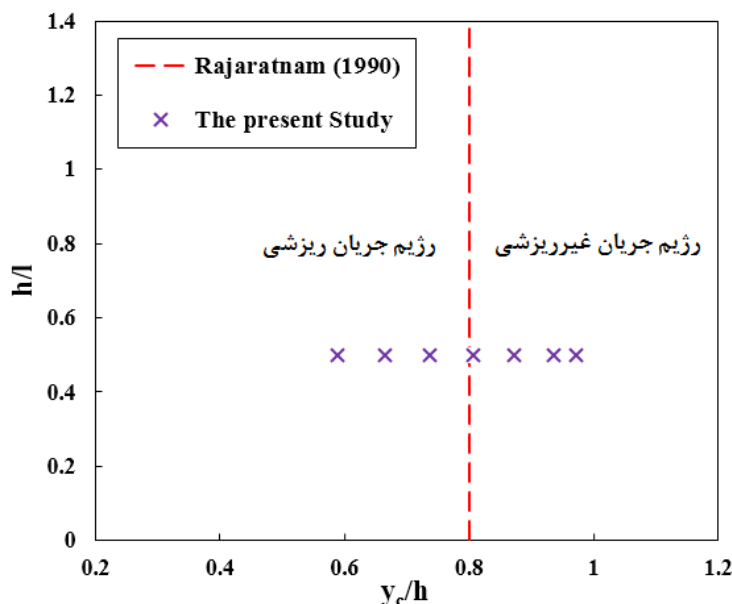
مواد و روش‌ها

رابطه‌های تئوری تشخیص رژیم جریان

معیارهای مؤثر در به وجود آمدن انواع جریان در سرریزهای پلکانی شامل هندسه‌ی پله‌ها (طول پله l و ارتفاع پله h) و میزان دبی عبوری از روی سرریز (Q) می‌باشند. با این حال محققان دیگر معیارهای دیگری را نیز ارائه داده‌اند (Rajaratnam, 1990). نتایج کار بسیاری از محققین نشان دادند که نوع رژیم جریان وابسته به عمق بحرانی نرمال شده (y_c/h) و مختصات بدون بعد پله (h/l) می‌باشد که در آن $y_c = (q^2/g)^{1/3}$ عمق بحرانی جریان، h و l به ترتیب Rajaratnam, 1990; Peyras et al., 1990 می‌باشند ().

جدول ۱- مشخصات هیدرولیکی و نوع رژیم جریان ایجادشده روی سرریز پلکانی تحقیق حاضر

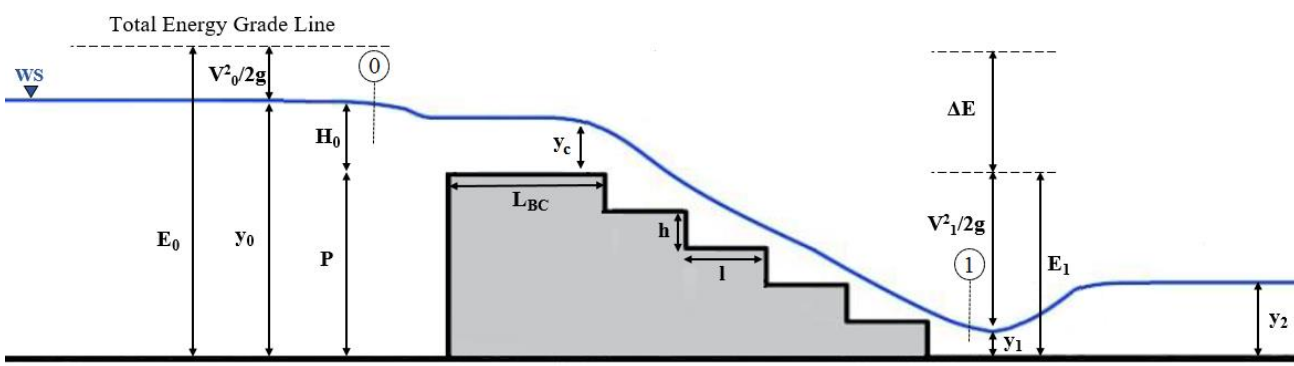
نوع رژیم جریان	y_c/h	h/l	طول پله (متر)	ارتفاع پله (متر)	عمق بحرانی (متر)	دبی جریان (مترمکعب بر ثانیه)
ریزشی	0.59	0.5	0.12	0.06	0.35	0.25
ریزشی	0.66	0.5	0.12	0.06	0.4	0.30
ریزشی	0.74	0.5	0.12	0.06	0.44	0.35
انتقالی	0.81	0.5	0.12	0.06	0.48	0.40
غیر ریزشی	0.87	0.5	0.12	0.06	0.52	0.45
غیر ریزشی	0.94	0.5	0.12	0.06	0.56	0.50
غیر ریزشی	0.98	0.5	0.12	0.06	0.58	0.53



شکل ۱- رژیم جریان ایجادشده بر روی سرریز پلکانی تحقیق حاضر

استهلاک انرژی در سرریزهای پلکانی اختلاف انرژی در بالادست سرریز پلکانی (بخش ۱) و انرژی در پایین دست آن در محلی که عمق اولیه پرش هیدرولیکی تشکیل

می‌گردد (بخش ۲) معیاری برای بررسی میزان استهلاک انرژی جریان می‌باشد. بنابراین مطابق شکل ۲ می‌توان انرژی بالادست و پایین دست سرریز پلکانی را محاسبه کرد.



شکل ۲- پارامترهای هیدرولیکی مهم در استهلاک انرژی سرریز پلکانی

$$\frac{\Delta E}{E_0} = f \left(\frac{y_c}{h}, \frac{y_c}{l}, \frac{P}{y_c}, \frac{h}{l}, f_e, R_e, W_e, Fr, N \right) \quad (6)$$

اگر فرض شود که در آبراهه‌های روباز نیروی لزجت سیال به نیروی اینرسی ناچیز می‌باشد (Chow, 1959) و با توجه به ماهیت پرش هیدرولیکی در پایین دست سرریز پلکانی و تلاطم زیاد آب و نیز با توجه به این که تعداد پله‌های سرریز پلکانی و ابعاد پله‌ها برای همه-می مدل‌ها یکسان می‌باشد، می‌توان از عدد رینولدز R_e , N , h/l صرف‌نظر کرد. همچنین با توجه به اینکه ارتفاع آب بر روی لبه تمامی مدل‌های سرریز پلکانی بیش‌تر از ۵ سانتی‌متر می‌باشد، از اثرات عدد ویر (W_e) نیز صرف‌نظر شد (Chow, 1959).

مدل‌های آزمایشگاهی

فلومی به طول، عرض و ارتفاع به ترتیب $1/2$ ، $1/2$ و 0.8 متر با دیواره‌هایی از جنس پلکسی‌گلس شفاف و کف فلزی جهت انجام آزمایش‌های مطالعه حاضر در نظر گرفته شد. برای تأمین دبی جریان، از پمپی با توان حداکثر 55 لیتر بر ثانیه استفاده شد. تنظیم دبی خروجی از موتور پمپ توسط شیر اهرمی تعیین شده روی پمپ انجام گردید. آب از منبع ذخیره اصلی کانال به منبع ابتدای کانال پمپاژ شده و در آنجا با عبور از آرام‌کننده (دو صفحه مشبك) وارد کانال می‌شود. بهمنظور جلوگیری از تلاطم جریان در ابتدای کانال بهویژه در دبی‌های بالا از یک عدد صفحه شناور روی سطح آب استفاده شد. جریان آب پس از عبور از طول کانال به مخزنی در انتهای کانال تخلیه می‌شود. اندازه‌گیری دبی جریان ورودی به کانال توسط دبی سنج صوتی نصب شده بر روی لوله پمپ صورت گرفت. اندازه‌گیری عمق جریان به وسیله عمق سنج نقطه‌ای با دقت 0.1 میلی‌متر که بر روی کانال نصب شده است و امکان حرکت در راستای طولی و عرضی جریان را دارد، انجام شد. عمق جریان آب در فاصله‌ی 2 متری (ناحیه آرام که باعث افزایش دقت قرائت می‌شود) از بالادست سرریز پلکانی و بعد از پرش هیدرولیکی در پایین دست سرریز پلکانی اندازه‌گیری شد (شکل ۳).

$$E_0 = P + 1.5y_c \quad (2)$$

$$E_1 = y_1 + \frac{V_1^2}{2g} \quad (3)$$

$$\Delta E = E_0 - E_1 \quad (4)$$

در این معادلات E_0 انرژی کل بالادست سرریز پلکانی، E_1 انرژی کل جریان در پایین دست سرریز پلکانی، ΔE استهلاک انرژی جریان عبوری از سرریز پلکانی، P ارتفاع سرریز پلکانی، y عمق بحرانی جریان، V سرعت جریان در پایین دست سرریز پلکانی (پنجه) و g شتاب گرانش زمین می‌باشد.

آنالیز ابعادی

با توجه به نتایج بررسی‌های انجام شده توسط محققان مهم‌ترین و مؤثرترین پارامترهای تأثیرگذار بر میزان استهلاک انرژی جریان عبوری از سرریز پلکانی (ΔE) عبارتند از (Ghaderi et al. 2020):

الف: مشخصات سیال شامل گرانزوی دینامیکی (μ)، چگالی (ρ)، شتاب گرانش زمین (g)، کشش سطحی (σ)

ب: مشخصات هیدرولیکی جریان شامل دبی در واحد عرض (q)، ارتفاع سرریز (P) کل بالادست سرریز (E_0)

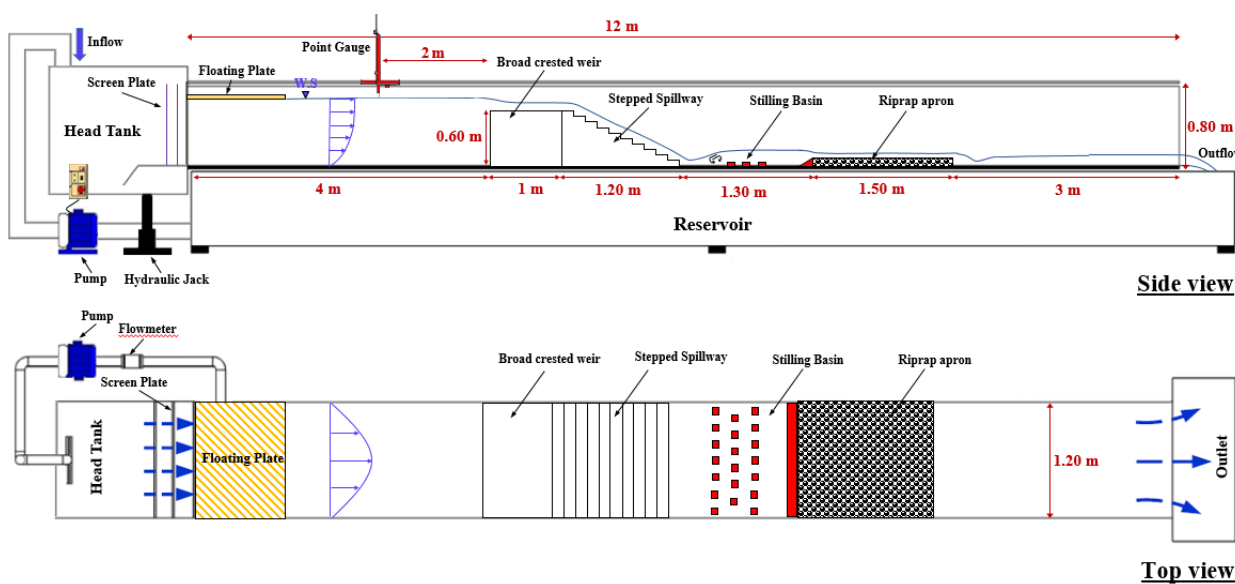
پ: مشخصات هندسی سرریز پلکانی شامل ارتفاع پله‌ی سرریز (h)، طول پله‌ی سرریز (l)، تعداد پله (N) ضریب زبری بستر (f)، ارتفاع سرریز (P)

بنابراین رابطه بین این پارامترها به صورت ذیل می‌باشد:

$$f(\Delta E, E_0, q, f_e, P, N, l, h, \sigma, g, \rho, \mu) = 0 \quad (5)$$

با استفاده از تئوری پی باکینگهام^۱ می‌توان میزان استهلاک انرژی جریان عبوری از سرریز پلکانی را تابعی از پارامترهای بی‌بعد زیر در نظر گرفت:

1- Buckingham's π theory



شکل ۳- طرح شماتیک فلوم آزمایشگاهی

جریان روی سرریز پلکانی از نوع رژیم جریان ریزشی می‌باشد. در شکل ۶ مشاهده می‌شود که رژیم جریان عبوری از روی سرریز پلکانی از پله شماره ۷ به صورت رژیم جریان ریزشی بوده و جت‌های جریان با برخورد و فروند بر روی پله‌ها به پایین دست سرریز پلکانی منتقل می‌شوند. این در حالی است که در سرریز پلکانی تمام استخر، در اثر برخورد بخشی از جریان عبوری از روی پله‌ها با مانع‌های روی پله، ناحیه برگشتی جریان را شکل دهنده که باعث می‌شود ناحیه جریان‌های گردابه^۳ نسبت به سرریز پلکانی ساده بزرگ‌تر بوده و جت‌های جریان در این نواحی به حالت غوطه‌وری درآمده و به دلیل استغراق پله‌ها، رژیم جریان انتقالی در این دبی برای سرریز تمام استخر وجود دارد. بهبیان دیگر، جریان انتقالی و غیر ریزشی بر روی سرریز پلکانی تمام استخر در دبی‌های پایین‌تری نسبت به سرریز پلکانی ساده اتفاق می‌افتد.

شکل (۷) جریان عبوری از سرریزهای پلکانی در شرایط وجود مانع بر روی پله و در آرایش‌های مختلف را در دبی ۳۵ لیتر بر ثانیه نشان می‌دهد. مشاهده می‌شود که در تمامی مدل‌ها، رژیم جریان برخلاف سرریز پلکانی ساده از نوع رژیم جریان انتقالی می‌باشد. به طوری که جریان بر روی هیچ‌یک از پله‌ها فروند نمی‌آید و رفتار جریان ریزشی مشاهده نمی‌گردد. همچنین با مقایسه بین آرایش‌های مختلف موانع روی پله، می‌توان گفت که تلاطم و نوسانات بر روی سطح جریان و پرش جریان از روی پله در مرکز و کناره‌های پله در تمامی مدل‌ها و همچنین در تمامی دبی‌ها مشاهده می‌شود.

3 Cavity region

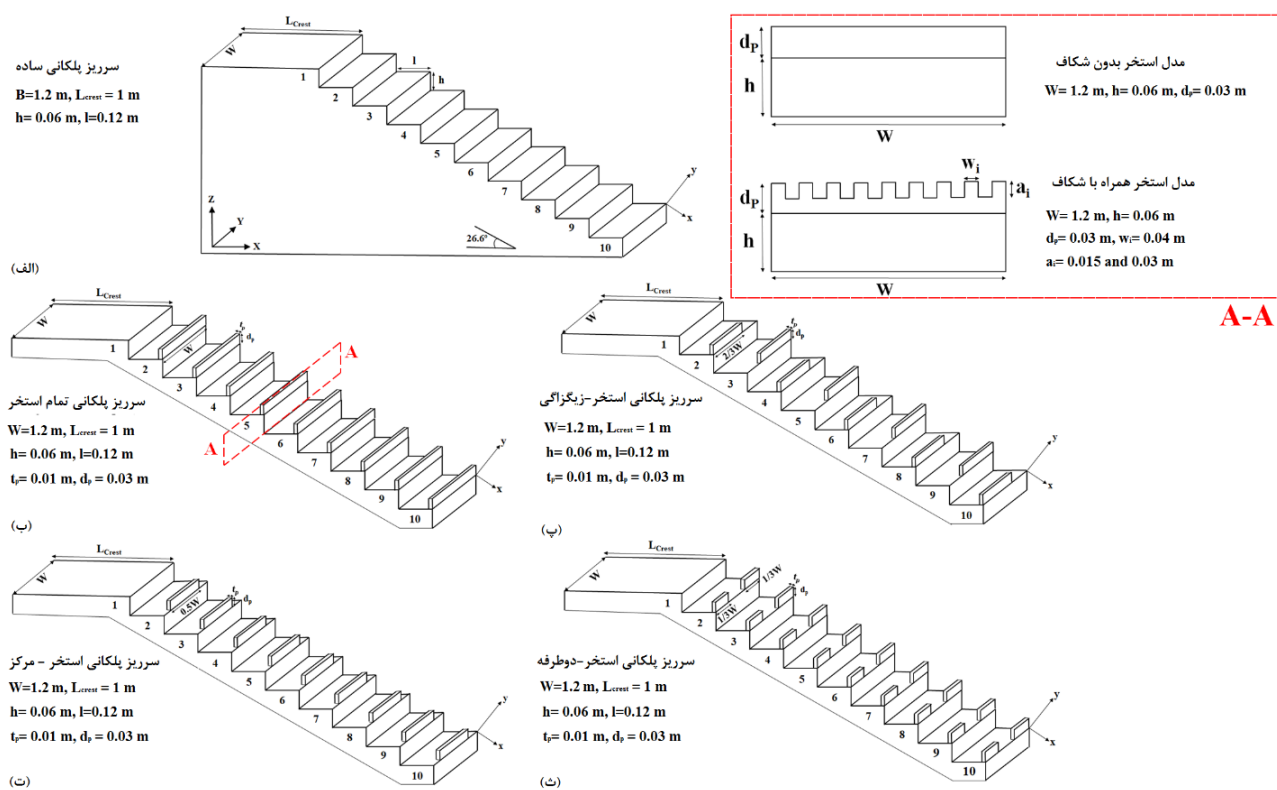
آزمایشات بر روی مدل سرریز پلکانی با شبیه شوت ۲۶/۶ درجه و متتشکل از ۱۰ پله با ارتفاع و طول به ترتیب ۰/۰۶ و ۰/۱۲ متر انجام گردید. سرریزهای ساخته شده از جنس فوم فشرده نسبتاً سخت (به دلیل امکان برش دقیق و راحت) با ضخامت ۰/۱۵ متر ساخته شدند. بدین منظور آزمایش‌ها از ۳ مدل سرریز پلکانی: سرریز پلکانی ساده، سرریز پلکانی همراه با موانع روی پله که اصطلاحاً مدل استخری^۱ نام‌گذاری شده‌اند و سرریز پلکانی مدل استخری همراه با شکاف^۲ در ۴ آرایش به صورت تمام استخر، زیگزاگی، مرکزی و دوطرفه استفاده گردید. شکل‌های (۴) و (۵) مشخصات و نمایی از مدل‌های سرریز پلکانی ساخته شده را نشان می‌دهند. با توجه به مطالعات فلدر و همکاران و نتایج قادری و همکاران، ضخامت موانع روی پله تأثیری بر عملکرد آن‌ها نداشته و ارتفاع موانع روی پله نباید از نصف ارتفاع پله‌ها بیشتر باشد(Felder et al., 2012; Ghaderi et al., 2021).

به همین علت ضخامت (t_p) ۰/۰۱ متر و ارتفاع (d_p) ۰/۰۳ برای موانع روی پله انتخاب گردید. همچنین مقادیر ارتفاع شکاف (a) به ترتیب نصف ارتفاع مانع و تمام ارتفاع مانع انتخاب شد.

نتایج و بحث

الگوی جریان عبوری از روی سرریزهای پلکانی همراه با مانع شکل (۶) جریان عبوری از سرریز پلکانی ساده (بدون مانع روی پله) و سرریز پلکانی تمام استخر را در دبی ۳۵ لیتر بر ثانیه نشان می‌دهد. همان‌طور که در جدول (۱) مشاهده شد، در این دبی رژیم

- 1- Pooled stepped spillway
- 2- Notch pool



شکل ۴- مشخصات هندسی مدل‌های سرریز پلکانی تحقیق حاضر

دهد و به دنبال بیشتری جهت ایجاد رژیم جریان انتقالی و غیر ریزشی نسبت به سرریز پلکانی همراه با مانع پیوسته نیاز است. همچنین آنچه مشهود است، اینکه میزان اختلاط آب و هوا در اثر شکاف در موانع بیشتر شده است، به طوری که پله‌های بالادست سرریز پلکانی نیز همراه با نواحی اختلاط آب با هوا (جریان دو فازی) هستند. هر چه ارتفاع شکاف بیشتر شود، میزان اختلاف آب و هوا بیشتر می‌شود. به طور مثال در شکل (۸) نقطه شروع هوادهی در سرریز پلکانی تمام استخیر بین پله‌های شماره ۵ و ۶ انفاق می‌افتد، این در حالی است که برای مدل‌های همراه با شکاف با ارتفاعهای شکاف ۱/۵ و ۳ سانتی-

متر به ترتیب در پله‌های شماره ۶ و ۷ انفاق رخ می‌دهد.

برای بررسی نقطه شروع هوادهی جریان عبوری از روی مدل‌های سرریز پلکانی، می‌توان از پارامتر بدون بعد L_i/k_s نسبت به عدد فرود استفاده کرد. L_i فاصله طولی نقطه شروع هوادهی تا پله پله i و $k_s = (h+d_p) \cos \theta$ ارتفاع زبری پله می‌باشد. برای سرریز پلکانی ساده مقدار ارتفاع مانع $d_p=0$ می‌باشد. همچنین عدد فرود را می‌توان تابعی از زبری پله‌ها طبق رابطه (۷) بیان کرد.

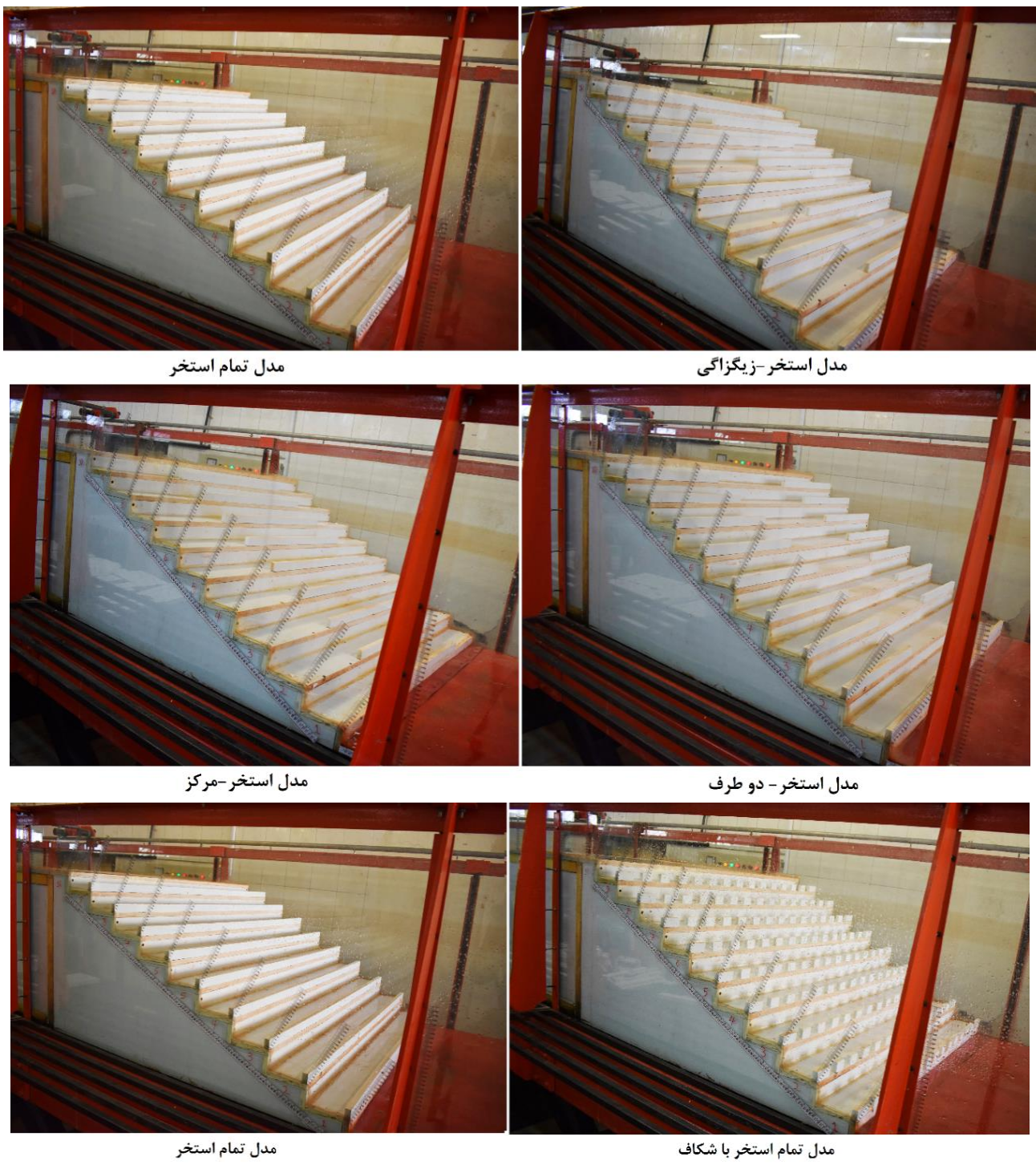
$$F^* = \frac{q}{\sqrt{g \times \sin \theta \times k_s^3}} \quad (7)$$

در بین مدل‌ها، شدت تلاطم جریان در مدل زیگزاگی بیشتر و در مدل تمام استخیر کمتر از مدل‌های دیگر مشاهده گردید. علت آن این است که جریان به هنگام برخورد به مانع روی لبه پله‌ها، از مسیر مستقیم و موازی خود با محور عرضی سرریز پلکانی منحرف می‌شوند. به بیان دیگر، بخش‌های که مانع وجود دارد، شدت نوسانات سطح جریان بیشتر است و در بخش‌های که مانع روی پله‌ها وجود ندارد، شدت تلاطم و نوسانات سطح جریان کمتر است. وجود تلاطم و پرش جریان از روی پله‌ها در اثر مانع می‌تواند باعث ورود هوای بیشتر به درون جریان شده و علاوه بر ایجاد بی ثباتی^۱ و ناپایداری در جریان، موقعیت نقطه شروع هوادهی^۲ را تحت تأثیر قرار دهد.

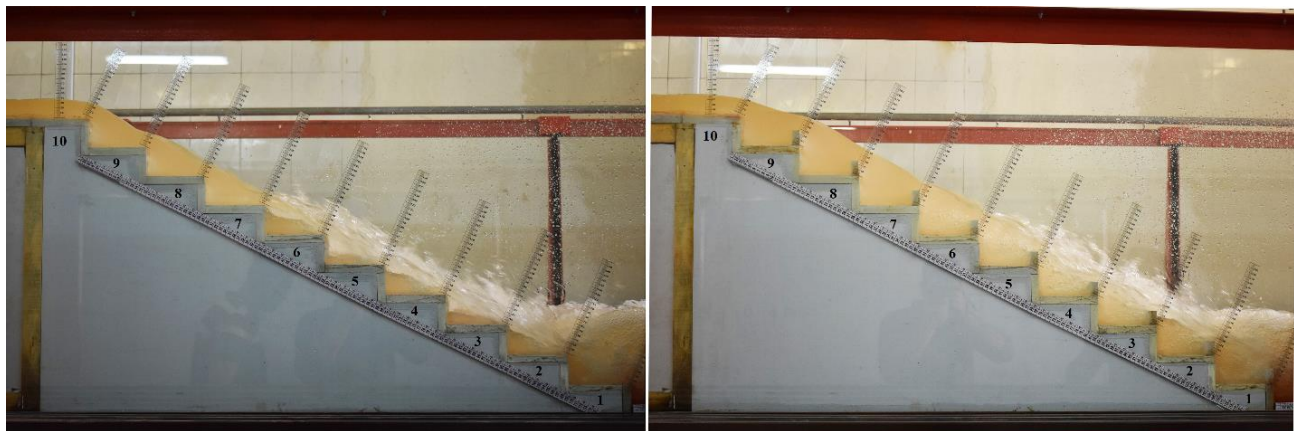
تأثیر ایجاد شکاف بر روی الگوی جریان عبوری از سرریز پلکانی همراه با مانع روی پله در شکل (۸) نمایش داده شده است. با توجه به این شکل مشاهده می‌گردد که ایجاد شکاف در مانع روی پله باعث کاهش نوسانات سطح جریان و پرش جریان از روی پله به خصوص در پله‌های پایین دست سرریز پلکانی نسبت به مدل‌های همراه با مانع بدون شکاف شده است. برای مانع شکافدار، عبور جریان از بین شکاف‌ها، تمایل جریان به ماندگاری در رژیم ریزشی را افزایش می-

1 Instabilities

2 Inception point



شکل ۵- مدل‌های سه بعدی سرریزهای پلکانی همراه با المان الحقیقی روی پله در مطالعه آزمایشگاهی



سرریز پلکانی ساده

سرریز پلکانی تمام استخر

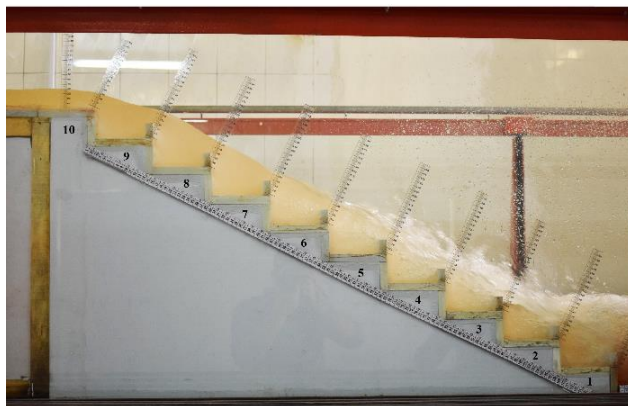
شکل ۶- رژیم جریان ریزشی در سرریز پلکانی ساده و رژیم جریان انتقالی در سرریز پلکانی تمام استخر در دبی ۳۵ لیتر بر ثانیه



سرریز پلکانی استخر-مرکز

سرریز پلکانی استخر-دو طرف

شکل ۷- نمایی از نوسانات سطح جریان عبوری از روی پله‌ها در مرکز و کناره‌ها در مدل‌های سرریز پلکانی همراه با مانع



سرریز پلکانی تمام استخر



سرریز پلکانی تمام استخر - با شکاف نصف ارتفاع استخر



سرریز پلکانی تمام استخر - با شکاف به ارتفاع استخر

شکل ۸- جریان عبوری از سرریز پلکانی همراه با مانع و شکاف بر روی پله

استهلاک انرژی جریان و انرژی باقیمانده

همواره انتقال جریان به پایین دست سازه‌های هیدرولیکی توسط سرریزها باعث ایجاد انرژی جنبشی زیادی می‌شود. یکی از دندگه‌های مهم مهندسان طراح، اطلاع از میزان استهلاک انرژی در سرریزهای پلکانی و مقدار انرژی باقیمانده در انتهای این نوع از سرریزها می‌باشد. میزان استهلاک انرژی ($\Delta E/E_0$) و مقدار انرژی باقیمانده (H_{res}) در لبه پله‌ی آخر همه‌ی مدل‌های سرریز پلکانی-همراه با مانع بر روی پله محاسبه و در شکل‌های (۱۱) و (۱۲) ارائه شد. برای محاسبه مقدار انرژی باقیمانده از رابطه ۸ استفاده گردید.

$$H_{res} = y \cos^2 \theta + \frac{V_1^2}{2 \times g} \quad (8)$$

در این رابطه V_1 ، θ ، y و g به ترتیب سرعت جریان در پنجه سرریز، شیب شوت سرریز پلکانی، عمق جریان و شتاب گرانش زمین می‌باشند. در شکل (۱۱) دیده می‌شود برخلاف تصور اینکه ایجاد مانع در لبه پله باعث افزایش استهلاک انرژی می‌گردد، اما بیشترین استهلاک انرژی در سرریز پلکانی ساده اتفاق افتاده است. همچنین در رژیم جریان ریزشی (مقدار y کم) انرژی بیشتری مستهلك می‌شود.

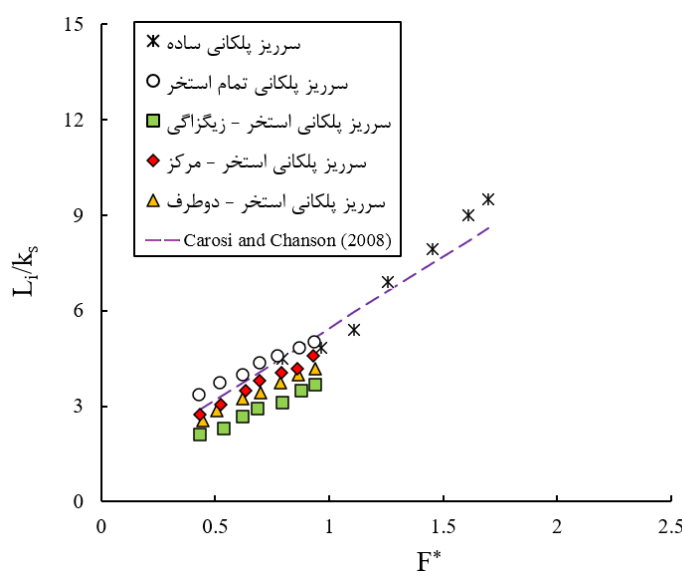
در رابطه فوق، q دبی در واحد عرض، θ شیب شوت سرریز می‌باشد. تمامی داده‌های برداشت شده از آزمایشات با رابطه خطی ارائه شده توسط کاروسی و چانسون بر روی سرریز پلکانی با شیب شوت ۶/۲۶ درجه مقایسه و در شکل (۹) ارائه گردید (Carosi and Chanson, 2008). مشاهده می‌شود که نتایج حاصل از مدل سرریز پلکانی ساده تحقیق حاضر همخوانی خوبی با رابطه ارائه شده توسط کاروسی و چانسون دارد. همچنین می‌توان گفت وجود مانع روی پله سرریز پلکانی باعث انتقال محل نقطه شروع هواده‌ی به بالادست سرریز پلکانی شده و این امر در مدل‌های استخر-زیگزاگی فاصله مختلف افزایش می‌یابد. به طوری که در مدل استخر-زیگزاگی فاصله طولی نقطه شروع هواده‌ی دارای کمترین مقدار و مدل سرریز پلکانی تمام استخر دارای بیشتر مقدار در بین مدل‌های دارای مانع روی پله می‌باشند. با توجه به شکل (۱۰)، می‌توان دریافت که ایجاد شکاف در موانع روی پله باعث انتقال هر چه بیشتر محل نقطه شروع هواده‌ی به بالادست سرریز پلکانی می‌شود.

همکاران و قادری و عباسی دارد، که بیان کردند کمترین انرژی باقی-مانده بر روی سرریزهای پلکانی در رژیم جریان غیر ریزشی اتفاق می‌افتد (Felder et al., 2012; Ghaderi and Abbasi, 2021).

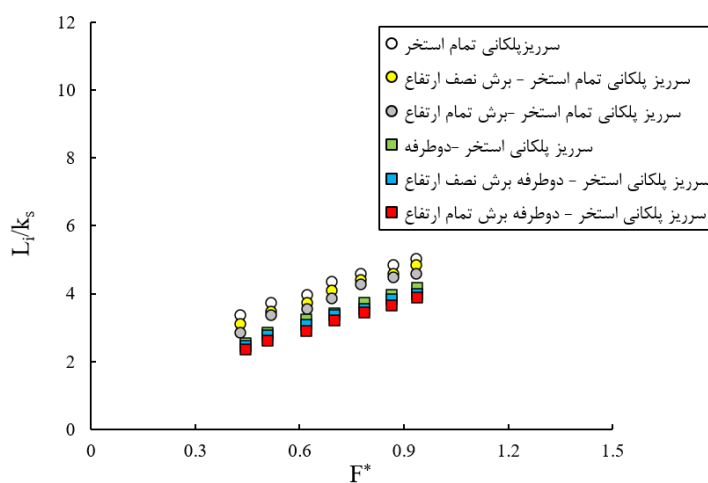
همچنین در شرایط جریان یکسان، مقادیر انرژی باقیمانده بی‌بعد شده برای سرریز پلکانی ساده کمتر از مدل‌های سرریز پلکانی همراه با مانع است. بهیان دیگر می‌توان گفت، مقدار متوسط انرژی باقیمانده نسبی برای سرریز پلکانی ساده برابر $\frac{3}{64} H_{\text{res}}/y_c$ می‌باشد. این در حالی است که میانگین این مقدار برای سرریزهای پلکانی همراه با مانع برابر $\frac{4}{13} H_{\text{res}}/y_c$ می‌باشد.

بهیان دیگر، با افزایش دبی جریان، میزان استهلاک انرژی در تمامی مدل‌ها کاهش می‌یابد. در بین سرریزهای پلکانی همراه با مانع، مدل تمام استخرا به علت ایجاد ناجیه جریان برگشتی و جریان‌های گردابه بزرگ‌تر، بیشترین کارایی و مدل استخرا- مرکز کمترین کارآبی را در میزان استهلاک انرژی دارند.

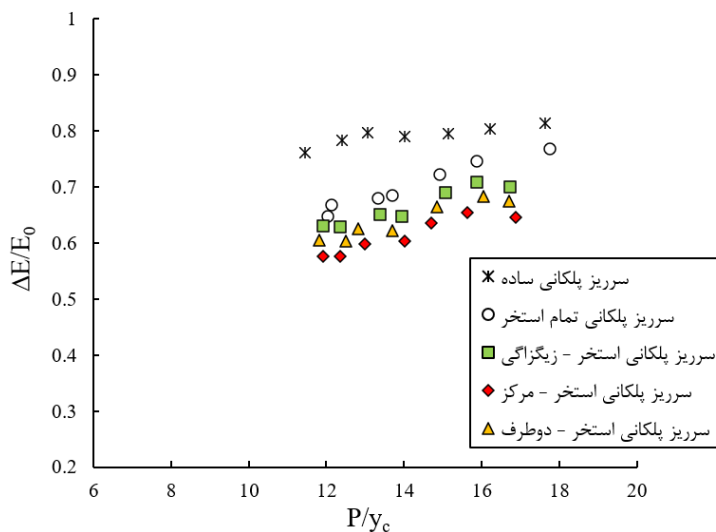
در شکل (۱۲) تغییرات مقدار انرژی باقیمانده نسبی مدل‌های سرریز پلکانی نشان داده شده است. مشاهده می‌شود که با افزایش دبی جریان، مقادیر انرژی باقیمانده بر روی تمامی مدل‌های سرریز کاهش می‌یابد. نتایج بدست آمده همخوانی خوبی با نتایج فلدر و



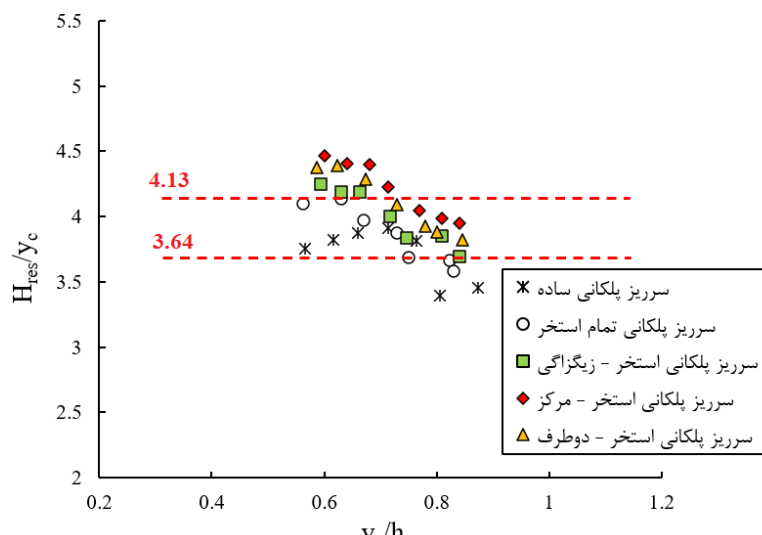
شکل ۹- نقاط شروع هوادهی بر روی مدل‌های سرریز پلکانی در شرایط وجود مانع روی پله در آرایش‌های مختلف



شکل ۱۰- تأثیر ایجاد شکاف بر روی موانع روی پله در نقاط شروع هوادهی بر روی مدل‌های سرریز پلکانی



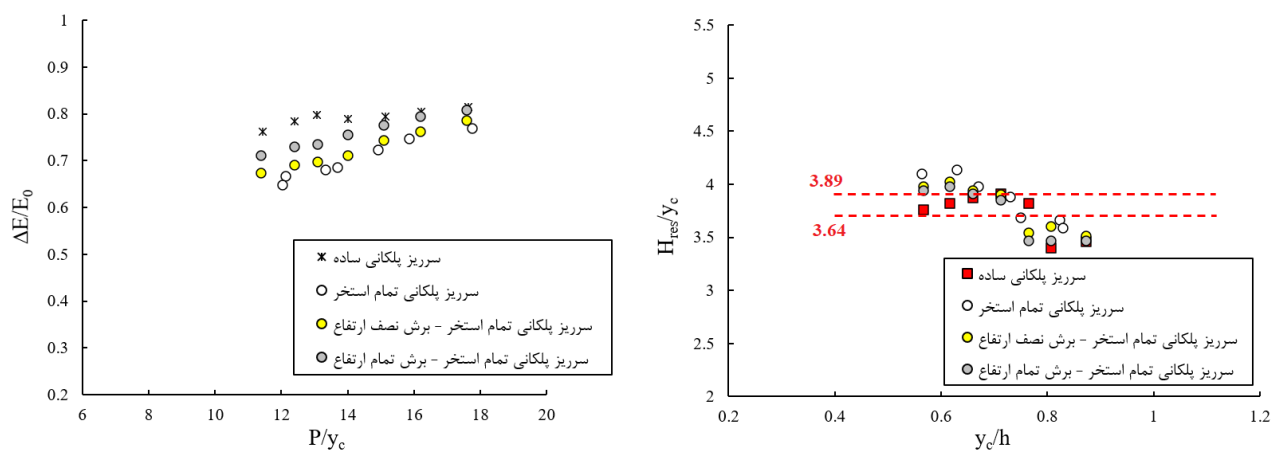
شکل ۱۱- تغییرات استهلاک انرژی برای سرریز پلکانی ساده و سرریزهای پلکانی همراه با مانع



شکل ۱۲- مقادیر انرژی باقیمانده در مدل‌های سرریز پلکانی این تحقیق

(۱۳۹۷)، ایجاد شکاف باعث کاهش سرعت جریان در لبه پله‌های سرریز پلکانی شده و درنتیجه باعث کاهش انرژی جنبشی جریان در پایین دست می‌گردد (شکل ۱۴). همچنین ایجاد شکاف در موانع روی پله‌ها باعث کاهش بیشتر مقدار انرژی باقیمانده در پنجه مدل‌های سرریز پلکانی شده به طوری که میانگین این مقدار برای سرریزهای پلکانی همراه با مانع و شکاف برابر $H_{res}/y_c = ۳/۸۹$ می‌باشد.

در شکل (۱۳) مشاهده می‌گردد که ایجاد شکاف در موانع روی لبه پله‌های سرریز پلکانی باعث بهبود عملکرد مدل‌های پلکانی همراه با مانع می‌شود. هر چه مقدار شکاف بیشتر شده، عملکرد موانع روی پله در افزایش میزان استهلاک انرژی بهتر می‌شود. به طوری که در شرایط جریان یکسان، مدل سرریز پلکانی تمام استخرا-شکاف با ارتفاع برابر با ارتفاع استخرا، میزان استهلاک انرژی جریان به طور میانگین $۷/۳۳$ درصد افزایش می‌یابد. طبق مطالعات قادری و عباسی



شکل ۱۳- تغییرات مقادیر استهلاک انرژی و انرژی باقیمانده در شرایط وجود مانع همراه با شکاف



سرریز پلکانی استخر - دو طرف



مدل سرریز پلکانی استخر - دو طرف با شکاف تمام ارتفاع

شکل ۱۴- جریان عبوری از روی سرریز پلکانی همراه با مانع و شکاف

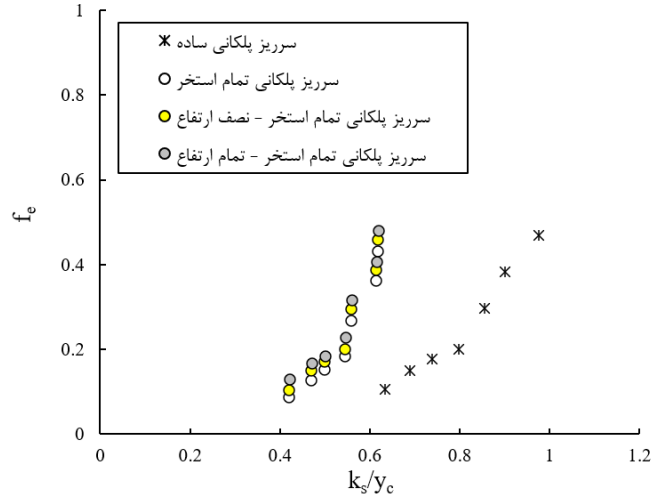
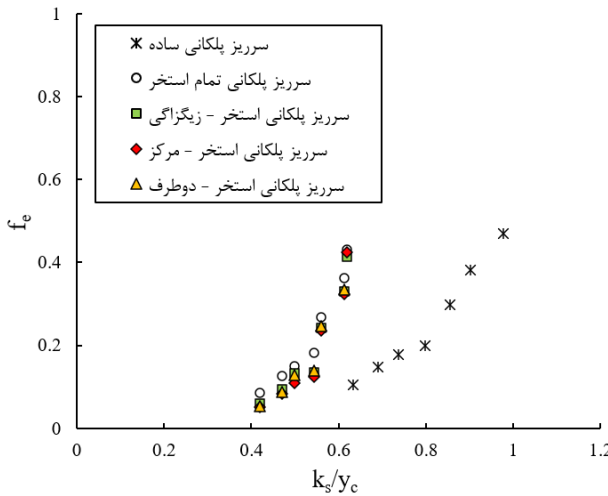
معمولًاً به صورت ضریب اصطکاک دارسی (f_e) بیان می‌شود. ضریب اصطکاک دارسی به صورت رابطه زیر محاسبه می‌شود:

مقاومت در برابر جریان
 مقاومت در برابر جریان عبوری از روی سرریزهای پلکانی

بی بعد k_s/y_c برای تمامی مدل‌های سرریز پلکانی نشان داده شده است.

$$f_e = \frac{8 \times g \times q \sin \theta}{V_1^3} \quad (9)$$

در رابطه فوق $V_1 = q/y_c$ سرعت جریان در پنجه سرریز پلکانی می‌باشد. در شکل (۱۵) تغییرات ضریب زبری f_e نسبت به تعییرات



شکل ۱۵ - تغییرات ضریب زبری f_e نسبت به k_s/y_c برای سرریز پلکانی ساده و سرریز پلکانی همراه با مانع و شکاف

مدل‌های سرریز پلکانی همراه با مانع در دبی‌های پایین‌تری نسبت به سرریز پلکانی ساده اتفاق می‌افتد. با ایجاد موانع روی پله، تلاطم و نوسانات سطح جریان عبوری از روی پله در مرکز و کناره‌های پله در تمامی مدل‌ها مشاهده گردید که در بین مدل‌ها، شدت نوسانات جریان در مدل زیگزاگی بیشتر و در مدل تمام استخر کمتر از مدل‌های دیگر بود. ایجاد شکاف در موانع روی پله باعث کاهش تلاطم و نوسانات جریان عبوری از روی پله به خصوص در پله‌های پایین دست سرریز پلکانی می‌گردد. وجود مانع روی پله سرریز پلکانی باعث انتقال محل نقطه شروع هواده‌ی به بالا دست سرریز پلکانی می‌شود. در بین مدل‌ها، سرریز استخر-زیگزاگی و سرریز تمام استخر به ترتیب دارای کمترین و بیشترین فاصله طولی نقطه شروع هواده‌ی را داشتند. ایجاد شکاف در موانع روی پله باعث انتقال هر چه بیشتر محل نقطه شروع هواده‌ی به بالا دست سرریز پلکانی می‌شود.

در بررسی میزان استهلاک انرژی جریان عبوری از مدل‌های سرریز پلکانی، برخلاف تصورات اینکه ایجاد مانع در لبه پله‌ها باعث افزایش استهلاک انرژی می‌گردد، اما بیشترین استهلاک انرژی در سرریز پلکانی ساده مشاهده گردید. در بین سرریزهای پلکانی همراه با مانع، مدل تمام استخر بیشترین کارایی و مدل استخر-مرکز کمترین کار آبی را در میزان استهلاک انرژی دارند. ایجاد شکاف در موانع باعث بهبود عملکرد مدل‌های پلکانی می‌شود. هر چه ارتفاع شکاف بیشتر باشد، عملکرد موانع روی پله بهتر و به طور میانگین میزان استهلاک انرژی $7/33$ درصد افزایش می‌یابد. ایجاد مانع روی

مشاهده می‌شود که بیشترین ضریب زبری برای مدل‌های سرریز پلکانی در دبی‌های پایین و به علت رابطه غیرمستقیم ضریب زبری با دبی جریان، اتفاق می‌افتد. به عبارت دیگر طبق نمودار یا دیاگرام مودی، با افزایش عدد رینولدز، مقاومت در برابر جریان کاهش می‌یابد. همچنین ایجاد مانع روی پله‌های سرریز تأثیری روی افزایش ضریب زبری ندارد و بیشترین ضریب زبری در بین مدل‌های همراه با مانع روی پله، برای مدل تمام استخر می‌باشد. نکته قابل ذکر اینکه، ایجاد شکاف در موانع روی پله، باعث افزایش ضریب زبری نسبت به حالت بدون شکاف شده و با افزایش ارتفاع شکاف، ضریب زبری افزایش می‌یابد. در واقع برای یک دبی ثابت، وجود شکاف در موانع روی پله باعث کاهش بیشتر سرعت جریان به هنگام عبور از بین شکاف‌ها شده و درنتیجه ضریب زبری پلکانی همراه با مانع و شکاف بر روی پله، بین ۶ تا ۱۰ درصد نسبت به مدل سرریز پلکانی ساده متغیر می‌باشد.

نتیجه‌گیری

هدف تحقیق حاضر بررسی خصوصیات جریان عبوری از سرریز پلکانی شامل تغییرات در سطح آب، موقعیت نقطه شروع هواده‌ی، میزان استهلاک انرژی، و ضریب زبری در اثر استفاده از المان‌هایی بر روی پله‌ها در ابعاد و آرایش‌های مختلف می‌باشد. به طور کلی نتایج این تحقیق نشان داد که رژیم جریان انتقالی و غیر ریزشی بر روی

- Pergamon, Oxford, UK, Jan., 292 pages.
- Chanson. H. 2001. The Hydraulics of Stepped Chutes and Spillways. Balkema, Lisse, The Netherlands, 384 pages.
- Chanson. H. 1994. Hydraulics of skimming flows over stepped channels and spillways. *Journal of Hydraulic Research*, 32(3): 445-460.
- Chen. Q. Dai. G. and Liu. H. 2002. Volume of fluid model for turbulent numerical simulation of stepped spillway overflow. *Journal of Hydraulic Engineering ASCE*. 128 (70): 683-688.
- Chow. V.T. 1959. Open Channel Hydraulics. McGraw-Hill, New York, USA.
- Daneshfaraz. R. Joudi. A.R. Ghahramanzadeh. A. and Ghaderi. A. 2016. Investigation of flow pressure distribution over a stepped spillway. *Advances and Applications in Fluid Mechanics*. 19(4): 811-822.
- Felder S. Guenther P. and Chanson. H. 2012. Air-Water Flow Properties and Energy Dissipation on Stepped Spillways: a Physical Study of Several Pooled Stepped Configurations. *Hydraulic Model Report No. CH87/12*, School of Civil Engineering, The University of Queensland, Brisbane, Australia.
- Felder. S. and Chanson. H. 2014. Effects of step pool porosity upon flow aeration and energy dissipation on pooled stepped spillways. *Journal of Hydraulic Engineering*. 140 (4): 04014002
- Felder. S. Geuzaine. M. Dewals. B. and Erpicum. S. 2019. Nappe flows on a stepped chute with prototype-scale steps height: Observations of flow patterns, air-water flow properties, energy dissipation and dissolved oxygen. *Journal of Hydro-environment Research*. 27: 1-19.
- Ghaderi. A. Daneshfaraz. R. Torabi. M. Abraham. J. And Azamathulla. H.M. 2020. Experimental investigation on effective scouring parameters downstream from stepped spillways. *Water Supply*, 1988-1998.
- Ghaderi. A. Abbasi. S. Abraham. J. and Azamathulla. H.M. 2020. Efficiency of trapezoidal labyrinth shaped stepped spillways. *Flow Measurement and Instrumentation*, 72: 101711.
- Ghaderi, A.; Abbasi, S.; Di Francesco, S. 2021. Numerical Study on the Hydraulic Properties of Flow over Different Pooled Stepped Spillways. *Water*, 13, 710.
- Ghaderi. A. and Abbasi. S. 2021. Experimental and Numerical Study of the Effects of Geometric Appendage Elements on Energy Dissipation over Stepped Spillway. *Water*, 13, 957.
- Gonzalez. C. and Chanson. H. 2007. Hydraulic design of stepped spillways and downstream energy

پلهای سرریز تأثیری روی افزایش ضربی زبری ندارد و بیشترین ضربی زبری در بین مدل‌های همراه با مانع روی پله، برای مدل تمام استخر می‌باشد. ولی ایجاد شکاف در موانع، باعث افزایش ضربی زبری می‌شود و با افزایش ارتفاع شکاف، ضربی زبری به طور میانگین ۸ درصد نسبت به سرریز پلکانی ساده افزایش می‌یابد.

منابع

اخگر، س. و روشنگر، ک. ۱۳۹۹. مطالعه عددی و آزمایشگاهی تأثیر ایجاد حفره روی پلهای سرریز پلکانی بر پارامترهای هیدرولیکی و استهلاک انرژی در جریان روبه‌ای، نشریه مهندسی عمران امیرکبیر، ۵۲ (۸): ۱۲-۱.

ترجمن سرابی، م.، رجائی، س.ح.، گلکار، ح. و ییزد، ح. ۱۳۹۹. بررسی اثر اندازه دانه‌بندی مصالح سنگی بر میزان تلفات انرژی در سرریزهای پلکانی گابیونی، نشریه آبیاری و زهکشی ایران. ۱۴ (۴): ۱۱۸۶-۱۱۷۵.

جم، م.، طالب بیدختی، ن. و مردشتی، ا. ۱۳۹۳. ارزیابی استهلاک انرژی روی سرریز دندانه‌دار بلوکی و مقایسه آن با سرریز پلکانی، نشریه هیدرولیک. ۹ (۲): ۱-۱۰.

حیدری ارجلو، س.، موسوی جهرمی، س.ح. و ادیب، آ. ۱۳۸۹. بررسی تأثیر شبیه بر تعداد بهینه پلکان‌ها در سرریزهای پلکانی، علوم و مهندسی آبیاری. ۳۳ (۲): ۱۲۴-۱۴۰.

سلاماسی، ف.، بینا، م. و موسوی جهرمی، س.ح. ۱۳۸۲. ارزیابی افت کارمایه جریان از روی سرریزهای پلکانی با استفاده از شبیه فیزیکی، مجله کشاورزی. ۲۶: ۵۷-۷۱.

سرکمیریان، سعید. احديان، ج. ۱۳۹۹. مدل‌سازی ریاضی افت انرژی در سرریزهای پلکانی با استفاده از مدل عددی ANSYS-CFX، علوم و مهندسی آبیاری. ۴۳ (۱): ۴۳-۵۶.

قادری، ا. و عباسی، س. ۱۳۹۸. بررسی عددی عملکرد سرریزهای پلکانی-کنگرهای بر روی استهلاک انرژی جریان‌های غیر ریزشی، نشریه هیدرولیک. ۱۴ (۳): ۱-۱۶.

روشنگر، ک. و اخگر، س. ۱۳۹۸. مطالعه عددی و آزمایشگاهی تأثیر المان‌های گوهای شکاف بر ضربی زبری و استهلاک انرژی روی سرریز پلکانی، نشریه آبیاری و زهکشی ایران. ۱۳ (۱): ۷۸-۸۸.

Carosi. G. and Chanson. H. 2008. Turbulence characteristics in skimming flows on stepped spillways, *Canadian Journal of Civil Engineering*. 35 (9): 865-880.

Chanson. H. 1995. Hydraulic Design of Stepped Cascades, Channels, Weirs and Spillways.

- Peyras. L. Royet. P. and Degoutte. G. 1992. Flow and Energy Dissipation over Stepped Gabion Weirs. *Journal of hydraulic Engineering*. 118 (5): 707-717.
- Pfister. M. and Chanson. H. 2014. Two-phase air-water flows: Scale effects in physical modeling. *Journal of Hydrodynamics, Ser. B*, 26 (2): 291-298.
- Rajaratnam, N. 1990. Skimming flow in stepped spillway. *Journal of Hydraulic Engineering*. 116 (4): 487-591.
- Rice. C.E. and Kadavy. K.C. 1996. Model Study of a Roller Compacted Concrete Stepped Spillway. *Journal of Hydraulic Engineering*. 122 (6): 292–297.
- Roshan. R. Azamathulla. H.M. Marosi. M. Sarkardeh. H. Pahlavan. H. and Ghani. A. 2010. Hydraulics of stepped spillways with different numbers of steps. *Dams and Reservoirs*. 20 (3): 131-136.
- Sorensen. R.M. 1985. Stepped spillway hydraulic model investigation. *Journal of Hydraulic Engineering*. 111 (12): 1461-1472.
- Tabbara. M. Chatila. J. and Awwad. R. 2005. Computational simulation of flow over stepped spillways. *Computers and Structures*. 83: 2215–2224.
- Tongkratoke. A. Chinnarasri. C. Pornprommin. A. Dechaumphai. P. and Juntasaro. V. 2009. Non-linear turbulence models for multiphase recirculating free-surface flow over stepped spillways. *International Journal of Computational Fluid Dynamics*. 23(5): 401–409.
- dissipators for embankment dams. *Dam Engineering*. 17 (4): 223–244.
- Hamed. A. Mansoori. A. Malekmohamadi. I. and Roshanaei. H. 2011. Estimating energy dissipation in stepped spillways with reverse inclined steps and end sill. *World Environmental and Water Resources Congress. Bearing Knowl Sustain. ASCE*.
- Khatsuria R.M. 2005. *Hydraulics of Spillways and Energy Dissipators*. Marcel Dekker, New york.
- Mero. S. and Mitchell. S. 2017. Investigation of energy dissipation and flow regime over various forms of stepped spillways. *Water and Environment Journal*, 31 (1): 127-137.
- Mondardo. J.M. and Fabiani. A.L. 1995. Comparison of Energy Dissipation between Nappe and Skimming Flow Regimes on Stepped Chutes. *Journal of Hydraulic Research*. 33(1): 119-122.
- Morovati. K. Eghbalzadeh. A. and Soori. S. 2016. Study of Energy Dissipation of Pooled Stepped Spillways. *Civil Engineering Journal*. 2 (5): 208-220.
- Nikseresht. A.H. Talebbeydokhti. N. and Rezaei. M.J. 2013. Numerical simulation of two-phase flow on step-pool spillways. *Scientia Iranica*. 20 (2): 222-230.
- Nohani. E. bahadoribirgani. B. Jalili. D. and Mirazizi. S. 2015. Study The Effect Of The Number Of Steps On Energy Dissipation Of Stepped Spillways In Non-Nappe or Skimming Flow. *Journal of Novel Applied Sciences*. 4 (9): 932-939.

Experimental Study of Energy Dissipation over Stepped Spillway with Appendage Elements on the Steps

A. Ghaderi ^{1*}, S. Abbasi ²

Received: Feb.10, 2021

Accepted: Mar.17, 2021

Abstract

Steps in the stepped spillway by creating an artificial roughening bed, dissipate the flow of energy more than other types of spillways. An increase of roughness leads to a uniform and continuous distribution energy of the flow over the spillway. The present study deals with experimental study regarding the appendage elements on the steps and its impact on the variation of the flow pattern, inception point, energy dissipation and Darcy roughness coefficient. Experiments were performed on a physical model, with appendage elements on the steps in different configurations and type (height and notch), and the results were compared with flat stepped spillway. The results showed that the appendage elements on the steps causes some the instabilities and turbulence on the center axis and sides of the steps, which causes the inception point to be moved upstream of the stepped spillway. A nappe and transition flow regimes on stepped spillways with appendage elements occur at lower discharges than flat stepped spillway. With notched, the change of the flow regime on the stepped spillway occurs later than in the height state. Also, the appendage elements on the steps have no effect on the energy dissipation and Darcy roughness coefficient. However, with notched on the appendage elements, their performance is improves and the amount of energy dissipation and Darcy roughness coefficient increases 7.33% and 8% compared to flat stepped spillway, respectively.

Keywords: Appendage elements, Energy dissipation, Inception point, Roughness coefficient, Stepped spillway

1- Ph.D. Candidate of Water and Hydraulic Structures, Faculty of Engineering, University of Zanjan, Zanjan, Iran

2- Assistant Professor, Faculty of Engineering, University of Zanjan, Zanjan, Iran

(*- Corresponding Author Email: amir_ghaderi@znu.ac.ir)